

Berechnung von Korrelationseffekten mit Hilfe der DMRG

Kay Hamacher

Theoretische Physik I
Universität Dortmund

&

Institut für Nanotechnologie
Forschungszentrum Karlsruhe

Universität Marburg, den 23.04.2001

Inhalt

1. Vorwort / Technik der DMRG
2. Realisierung in C++
3. NaV₂O₅ und ein Spincluster-Modell
4. Spinketten in 1D
5. Spinsysteme in 2D
6. Hubbardketten
7. Ausblick

DMRG-Technik

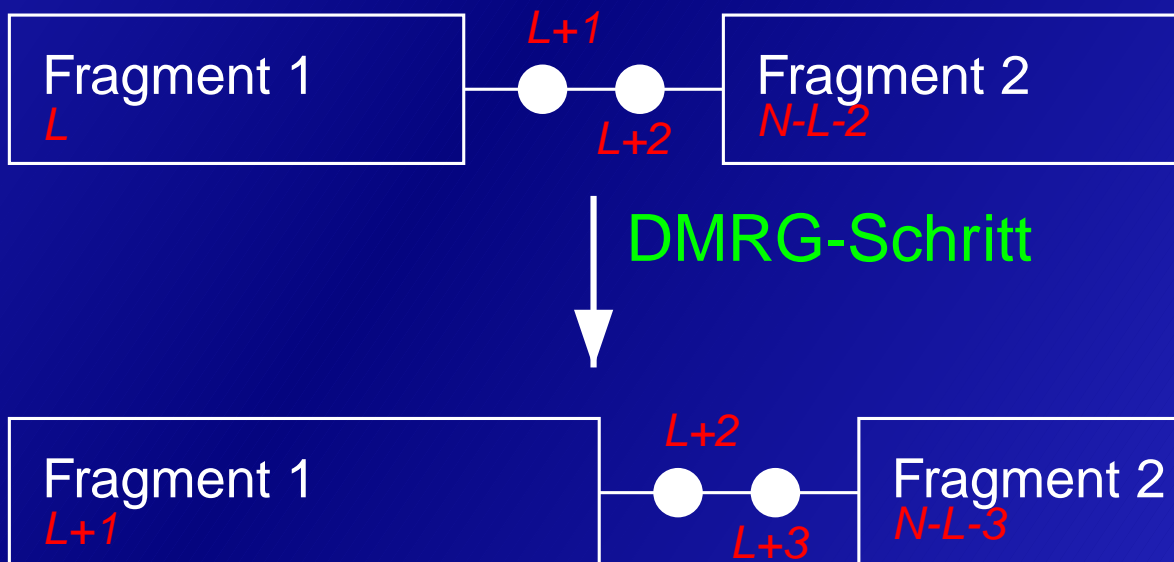
Iteratives Verfahren

1. Diagonalisieren von $H_{\text{Fragment } 1} + H_{\text{Site } 1}$

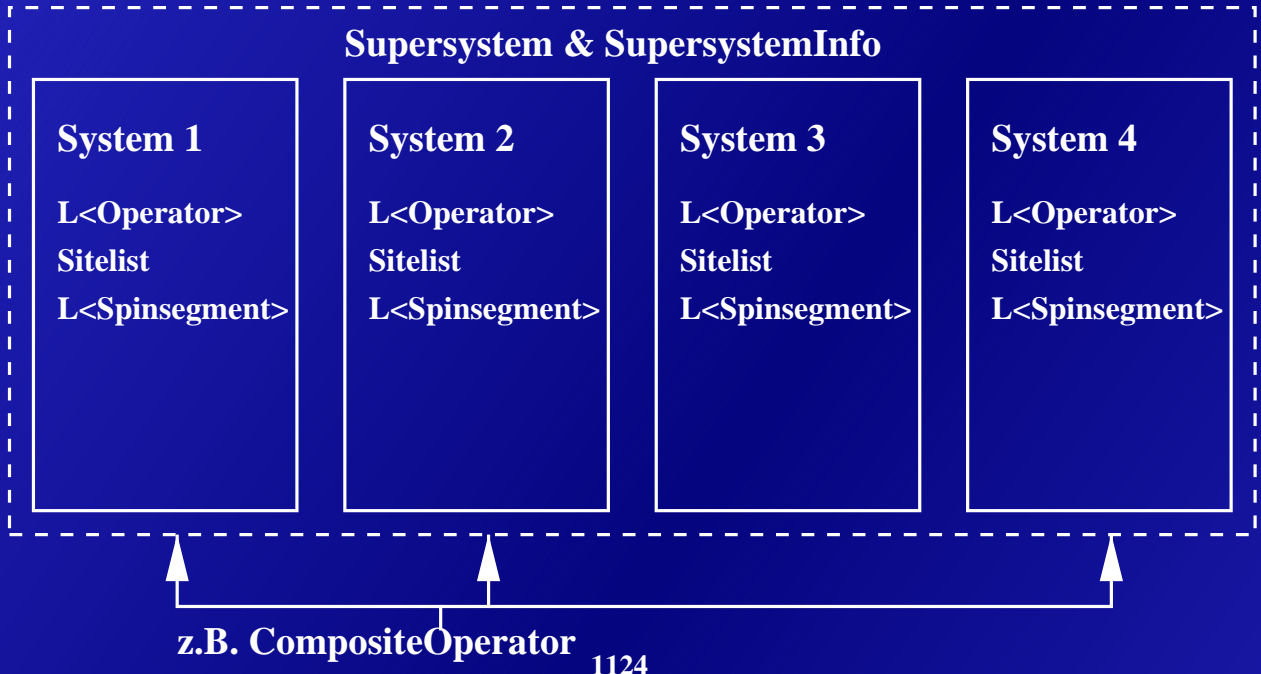
$+ H_{\text{Site } 2} + H_{\text{Fragment } 2} + H_{\text{Bindungen}}$

2. Diagonalisierung der reduzierten Dichtematrix

3. Anfügen einer Site / Operator-Transformation



Implementierung in C++



SegmentConfig: (s_1, s_2, \dots, s_N)

IndexConfig: (i_1, i_2, \dots, i_N)

⇒ Konfiguration $([s_1, i_1], \dots, [s_N, i_N])$

- Bindungstemplate
- Datenbank für Operatoren
- Parallelisierung
- Speichermodelle

Jeder hat sein Päckchen zu tragen. . .

Annahme:

$$\text{Homogener Parallelrechner : Load}_{\text{opt}} = \frac{\sum_{i=1}^M L_i}{N_{\text{CPU}}}$$

“Mod”-Strategie



“C”-Strategie



Strategie	$\frac{\max(\text{Load}_i)}{\text{Load}_{\text{opt}}}$
“Mod”	1.2424 ± 0.0027
C1	1.1543 ± 0.0018
C2	1.1556 ± 0.0018
C3	1.1110 ± 0.0012
C4	1.1662 ± 0.0019

hier für $M = 100, N_{\text{CPU}} = 8$, gemittelt über 1000 Zufallsverteilungen

NaV₂O₅ und ein Modell

- mag. Suszeptibilität 1D-Heisenberg-Modell $\longrightarrow V^{4,5+}$
- $T_c = 34\text{K}$
Verdopplung der Einheitszelle
Spin-Gap von 10meV
 $2 \cdot V^{4,5+} \rightarrow V^{4+} + V^{5+}$? (Probleme mit Spin-Peierls-Szenario)
- e^- -Spins über die V-O-V-Bindung verteilt^g
- Spin-Cluster-Theorie kein Szenario^{a b}
- Zig-Zag-Ladungsordnung ($T < T_c$)^{c d e f} und Dimer-Phase ($T > T_c$)^{ge}

^aGros, Valenti, Hamacher et al. **Phys.Rev.B(Rapid Comm.)** 62 (2000) R14617

^bBoer, Meetsma, Baas, Palstra **Phys.Rev.Lett.** 84 (2000) 3962

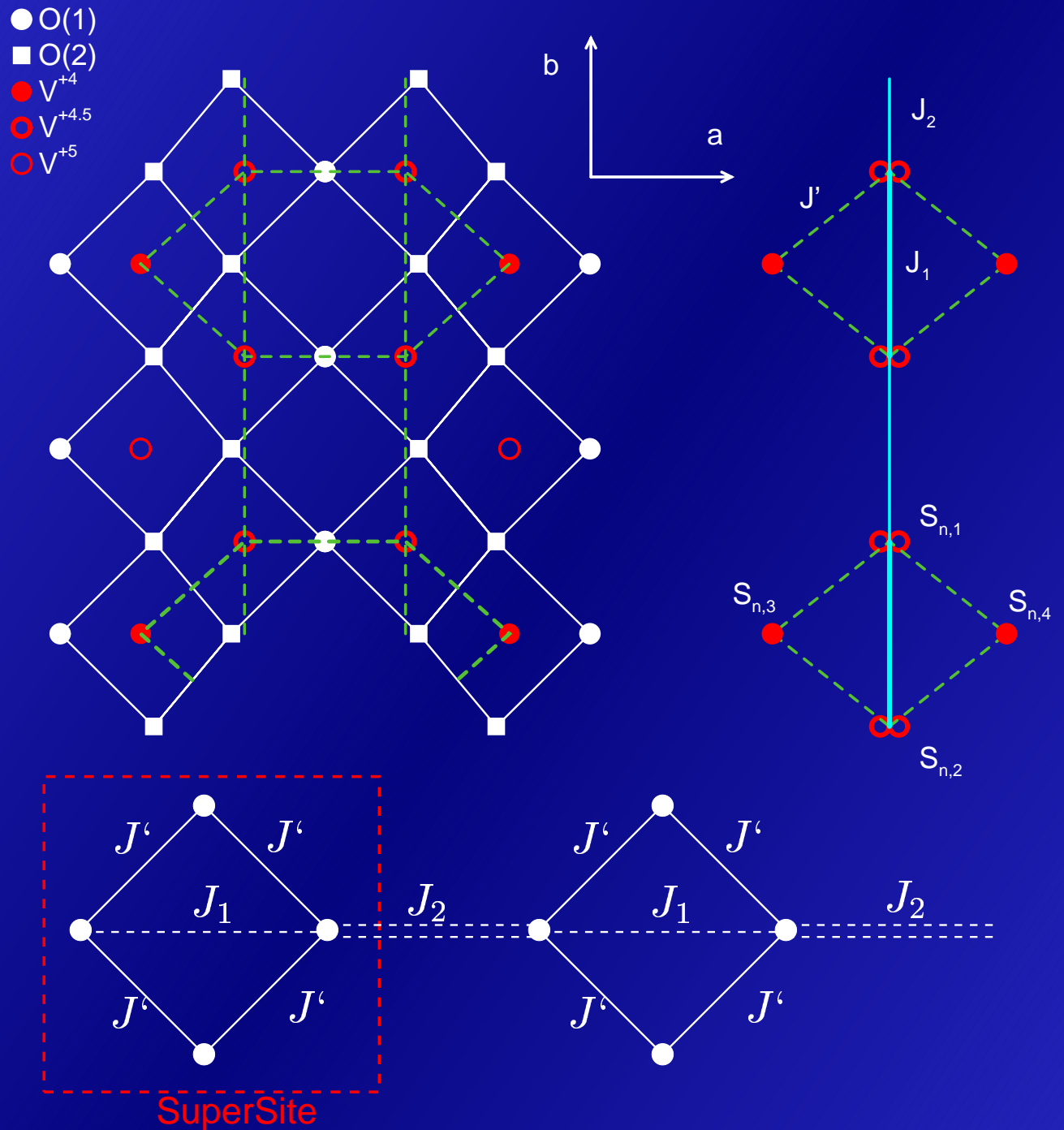
^cGros and Valenti **Phys.Rev.Lett.** 82(1999)976

^dYosihama, Nakajima, Kakurai et al. **J.Phys.Chem.Sol.** 60(1999)1099

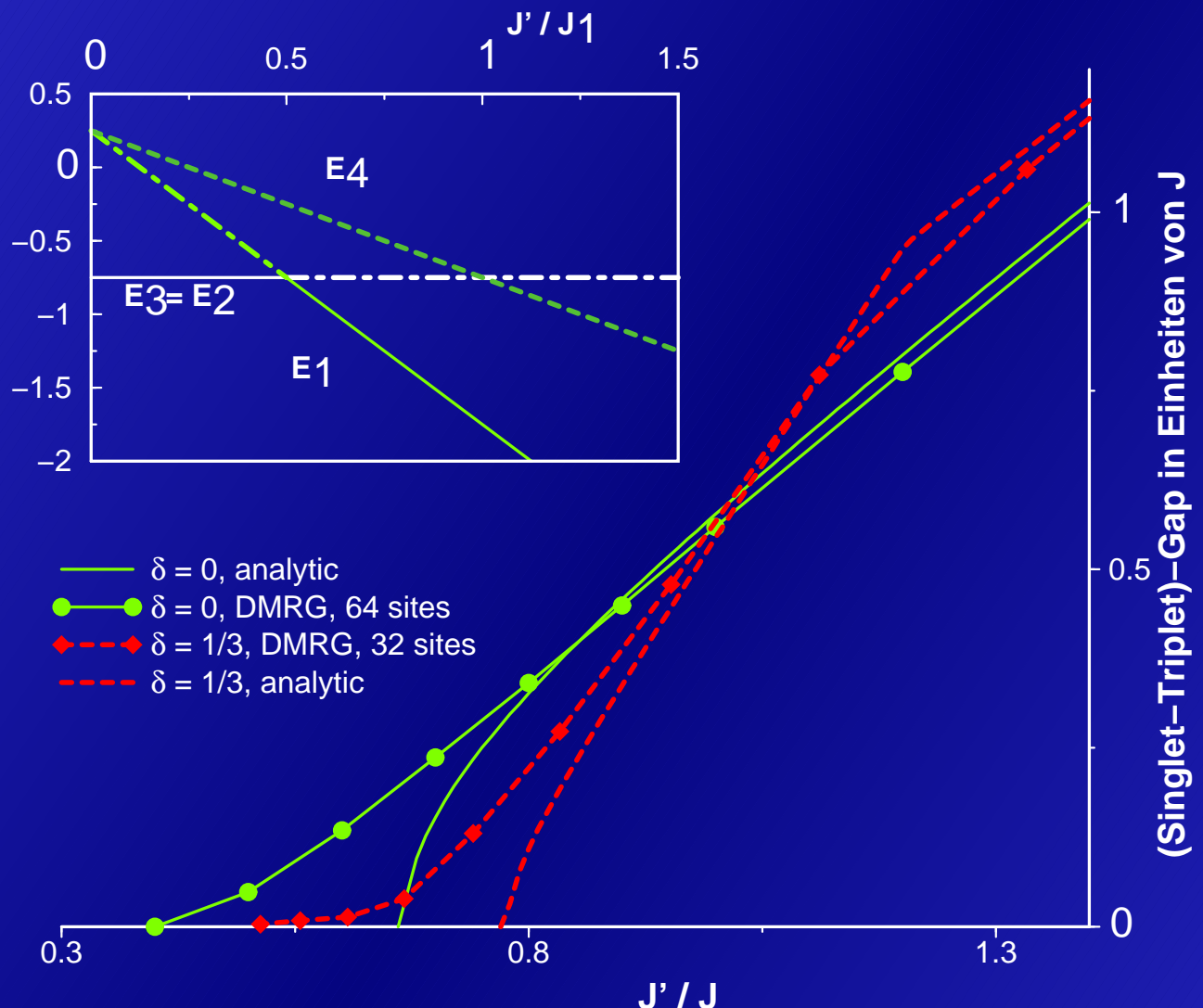
^eSeo and Fukuyama **J.Phys.Soc.Jp.** 67(1998)2602

^fOhama, Goto, Shimizu et al. **J.Phys.Soc.Jp.** 69(2000)2751

^gSmolinski, Weber, Gros et al. **Phys.Rev.Lett.** 80(1998)5164



Ergebnisse NaV₂O₅ I

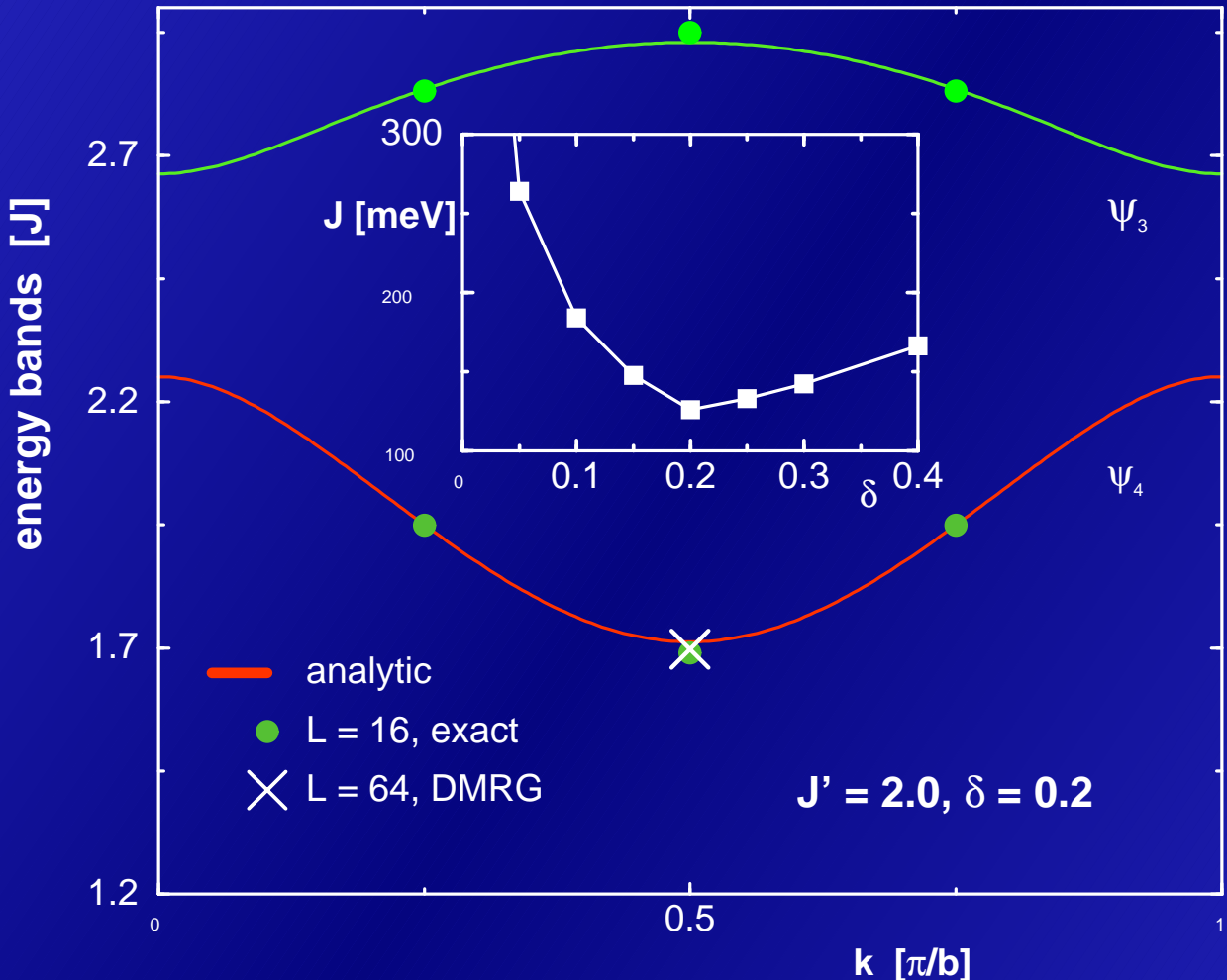


Isoliertes Cluster:

$$\Psi_1 = \frac{1}{\sqrt{3}} [t_{12}^0 t_{34}^0 - t_{12}^+ t_{34}^- - t_{12}^- t_{34}^+] \quad \Psi_2 = s_{12} s_{34}$$

$$\Psi_3^\alpha = s_{12} t_{34}^\alpha \quad \Psi_4 = \frac{1}{\sqrt{2}} [t_{12}^+ t_{34}^- - t_{12}^- t_{34}^+] \quad (\alpha = 1, 2)$$

Ergebnisse NaV₂O₅ II

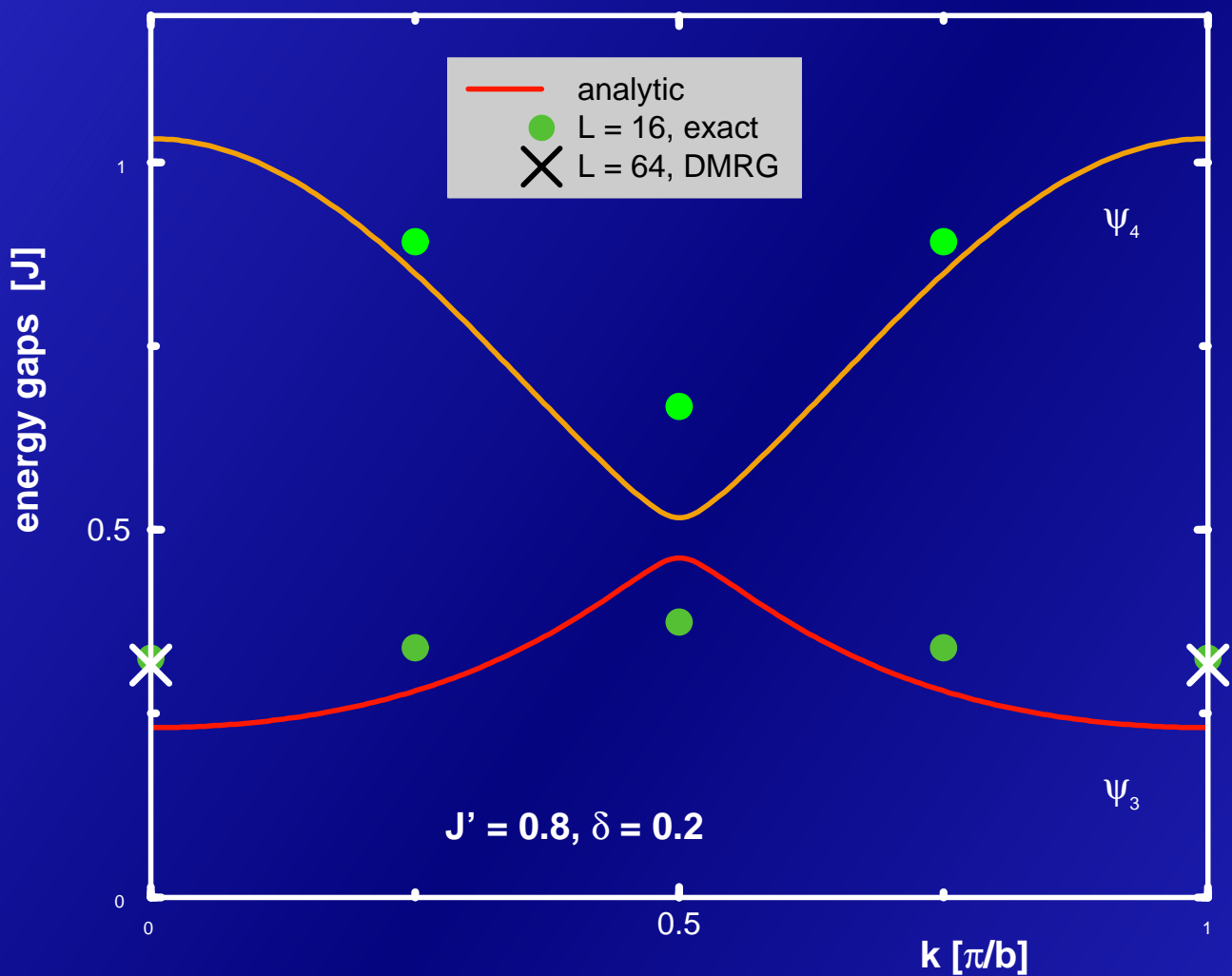


Experimentelle Magnonen-Dispersion:

Maximum bei $k = \frac{\pi}{2b}$ und

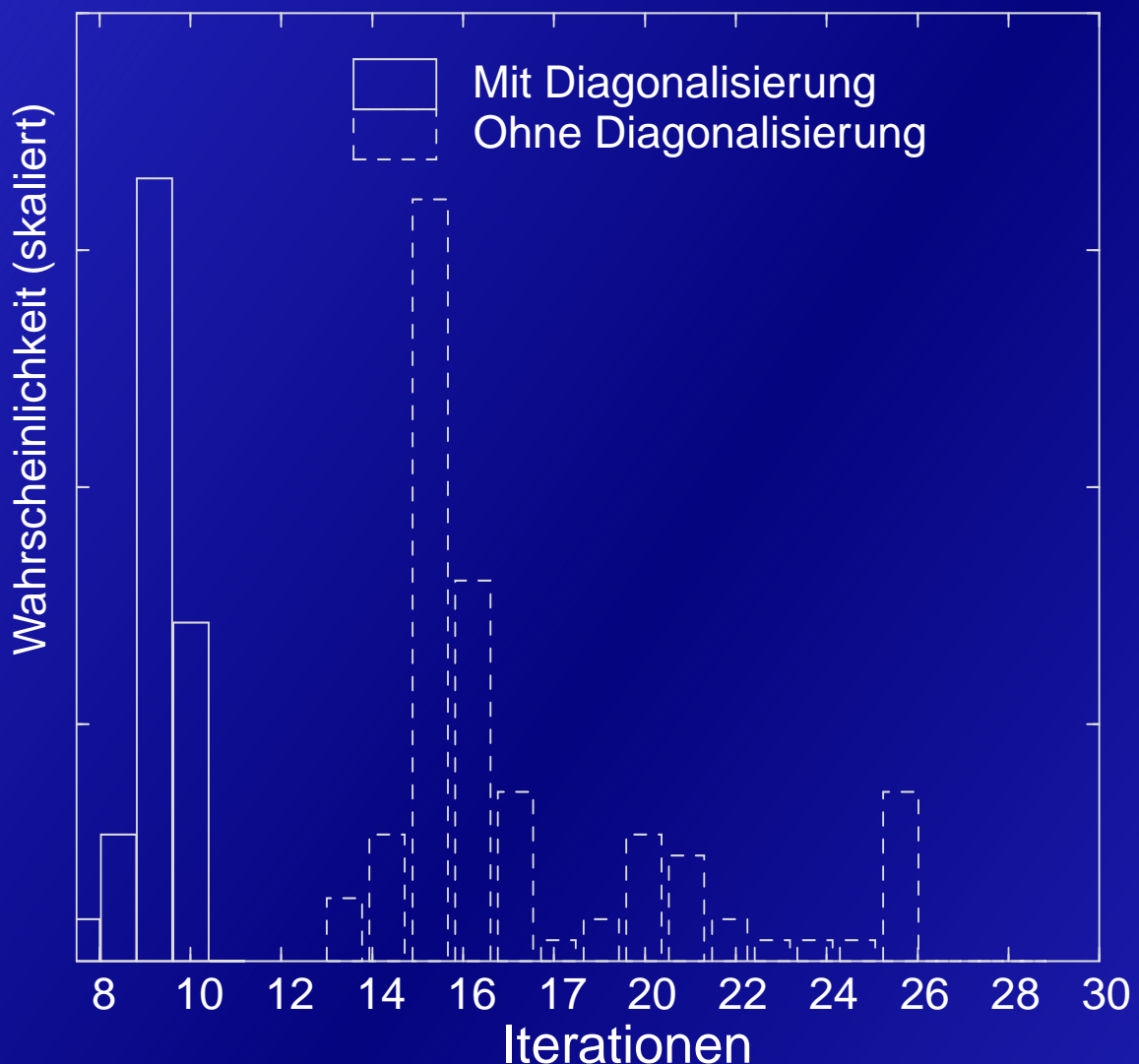
Minimum bei $k = 0, \frac{\pi}{b}$

Ergebnisse NaV₂O₅ III



Cluster-Operator-Theorie überschätzt die
Magnonen-Dispersion!

Lokale Diagonalisierung I

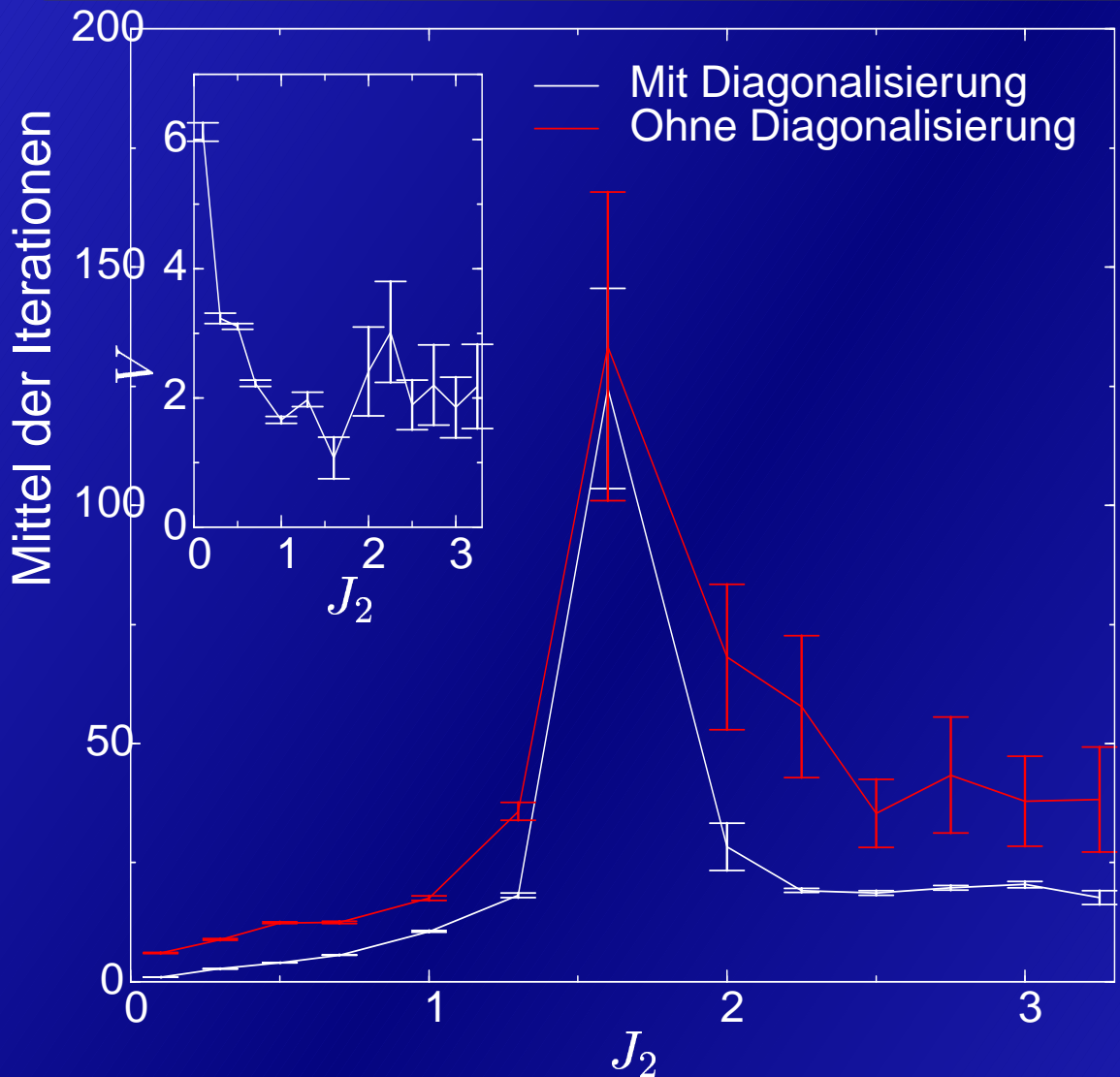


$$\bar{n}_{\text{mit}} = 10,973 \pm 0,103$$

$$\bar{n}_{\text{ohne}} = 18,748 \pm 0,500$$

für $L = 40, m = 60, J_z = J_{\pm} = 1, N_1 = N_{\downarrow} = 80$

Lokale Diagonalisierung II



mit

$$V := \frac{\text{Iterationen}_{\text{Ohne}}}{\text{Iterationen}_{\text{Mit}}}$$

für $L = 30, m = 50, J_z = J_{\pm} = 1, N_{\downarrow} = N_{\uparrow} = 60$

Ungeordnete Spinketten in 1D

Hamiltonian mit Unordnung

$$H = \sum_i [J_i (S_i^x S_{i+1}^x + S_i^y S_{i+1}^y) + \Delta S_i^z S_{i+1}^z]$$

mit gleichverteilten XY -Kopplungen J_i , für die $\overline{J_i} = 1$ ist

Spezialfälle:

$\Delta = 0$, Streuung der J_i Null $\Rightarrow XX$ -Modell

$\Delta = 1$, Streuung der J_i Null \Rightarrow Heisenberg-Modell

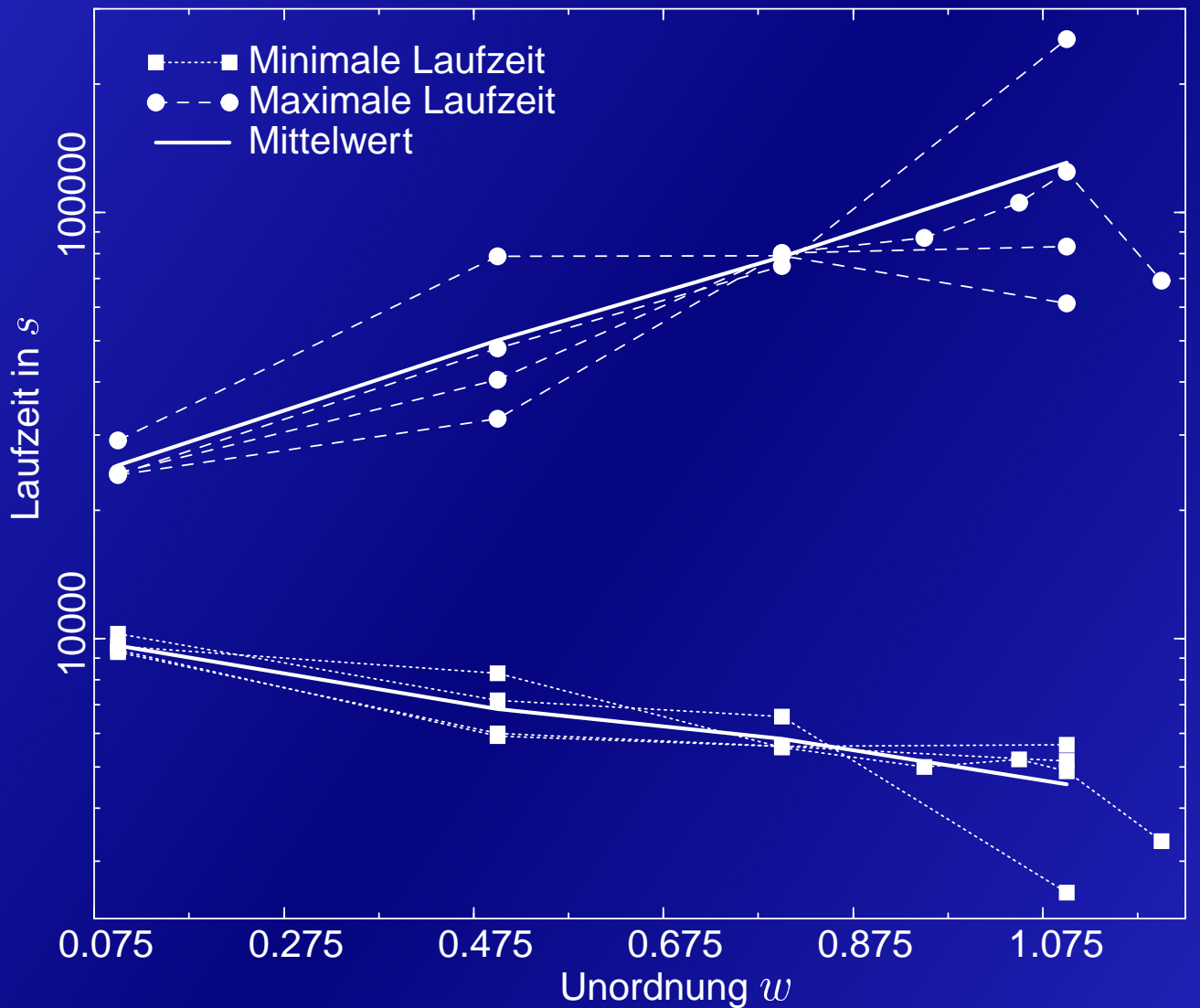
RSRG^a: $\left| \overline{\langle S_i^\alpha S_j^\alpha \rangle} \right| \sim |i - j|^{-2} \quad \alpha = x, y, z$

Aber: Numerische Untersuchung zeigte Abweichungen ^b

^aFisher **Phys.Rev.B** 50 (1994) 3799

^bRöder, Stolze, Silver, Müller **J.Appl.Phys.** 79 (1996) 4632

Laufzeiten der Spinketten

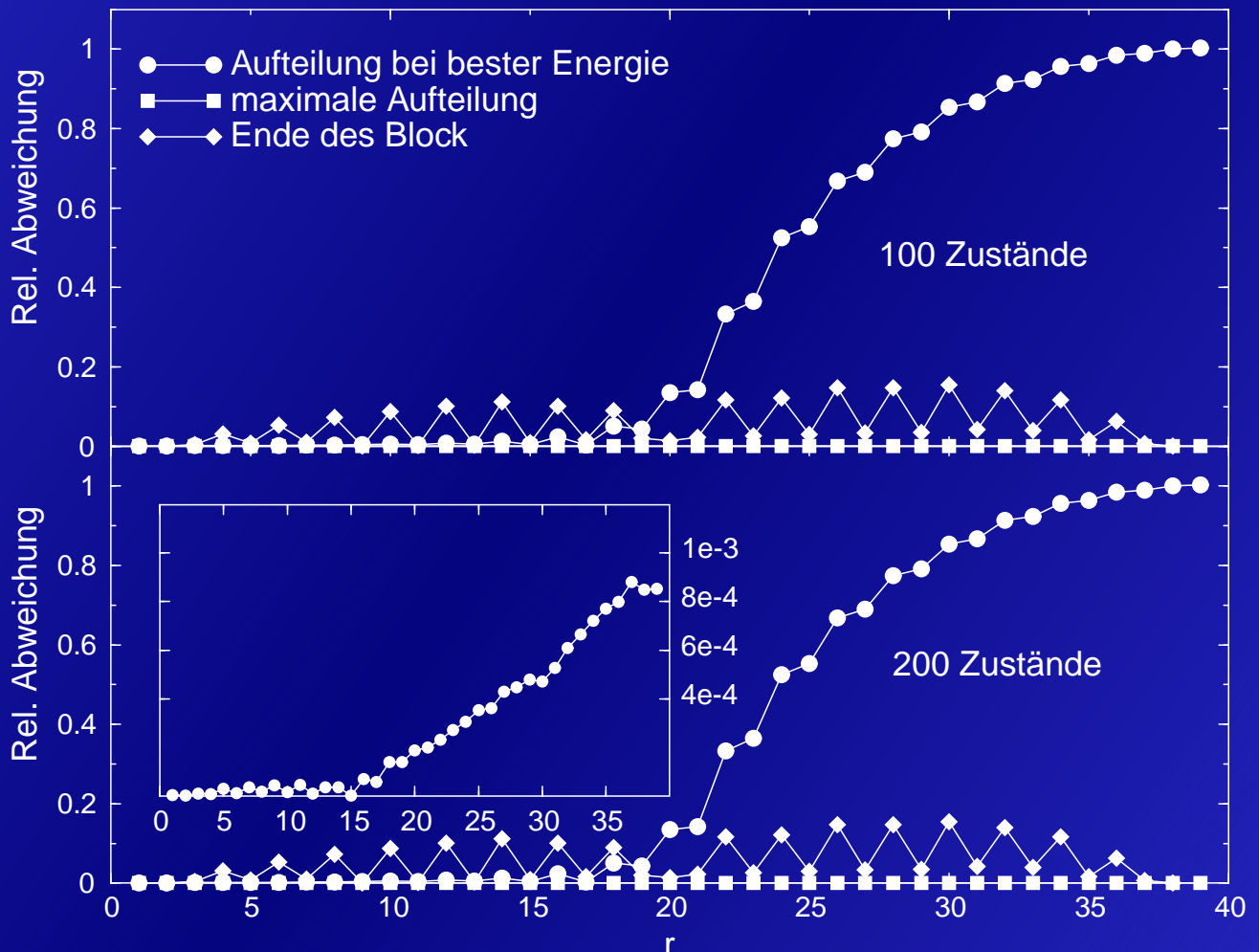


Insgesamt 13764 Replika gerechnet,
2593 CPU-Tage ~ 7 CPU-Jahre,
 $4\frac{1}{2}$ Stunden pro Replika

Berechnungsstrategien

Abweichung^a der Erwartungswerte

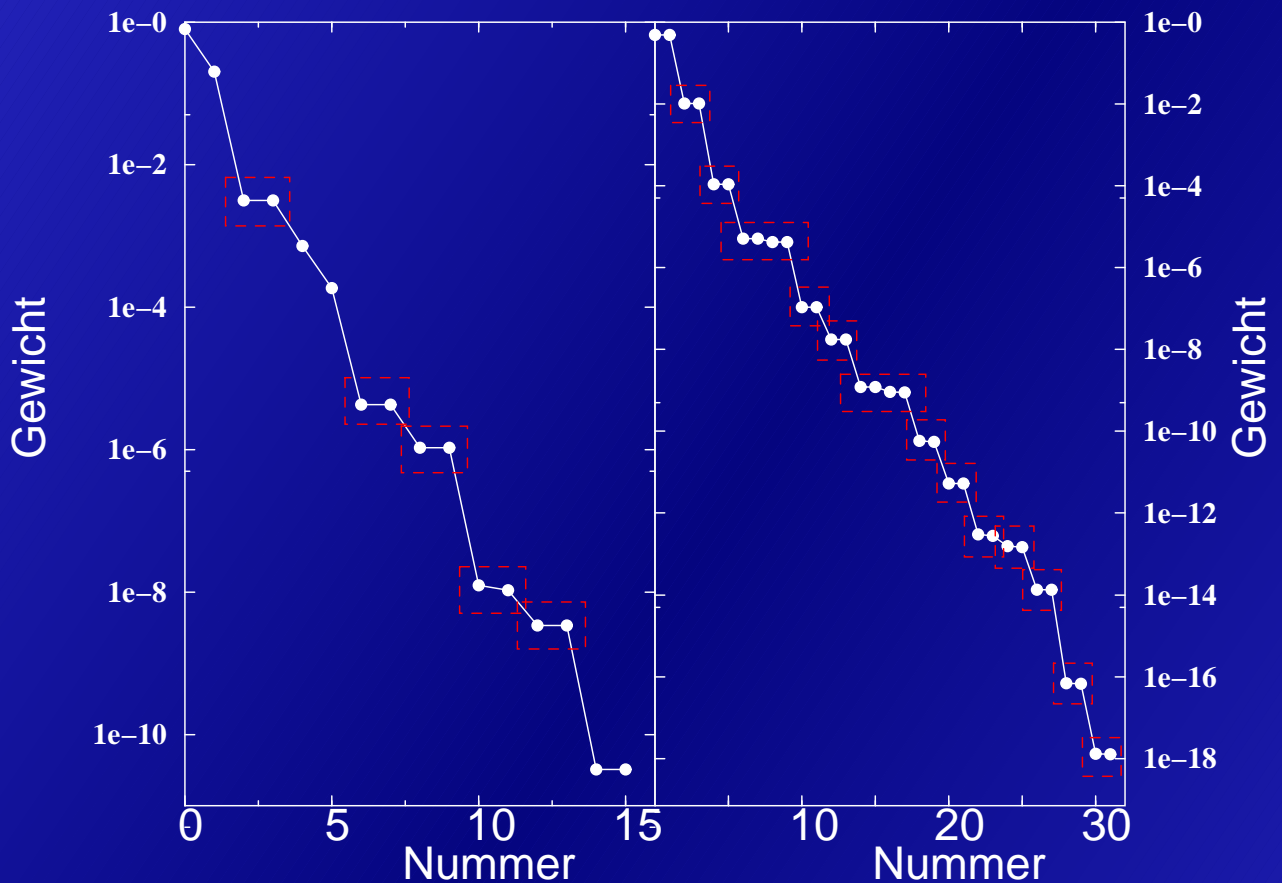
$$\langle S_o^+ S_r^- \rangle$$



$L = 40, \quad \Delta = 0 \quad w = 0$ offene Randbedingungen

^aVergleichswerte von J. Stolze

Entartungen der Dichtematrix

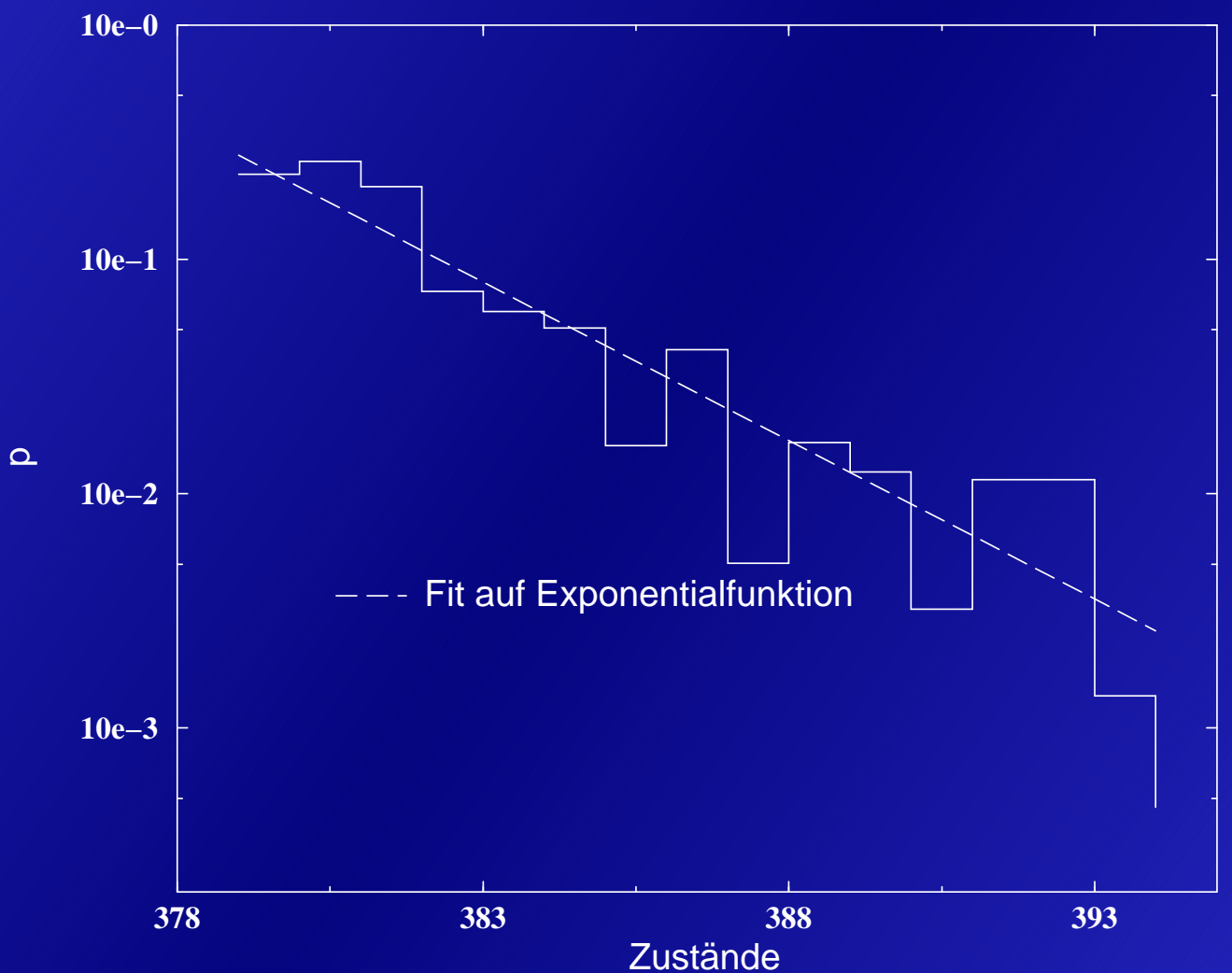


Ungeordnete Spinkette, $L = 10, \Delta = 3, w = 1$

und 40 Zustände, bei $N = 30, N = 31$

“Kampf” den Entartungen

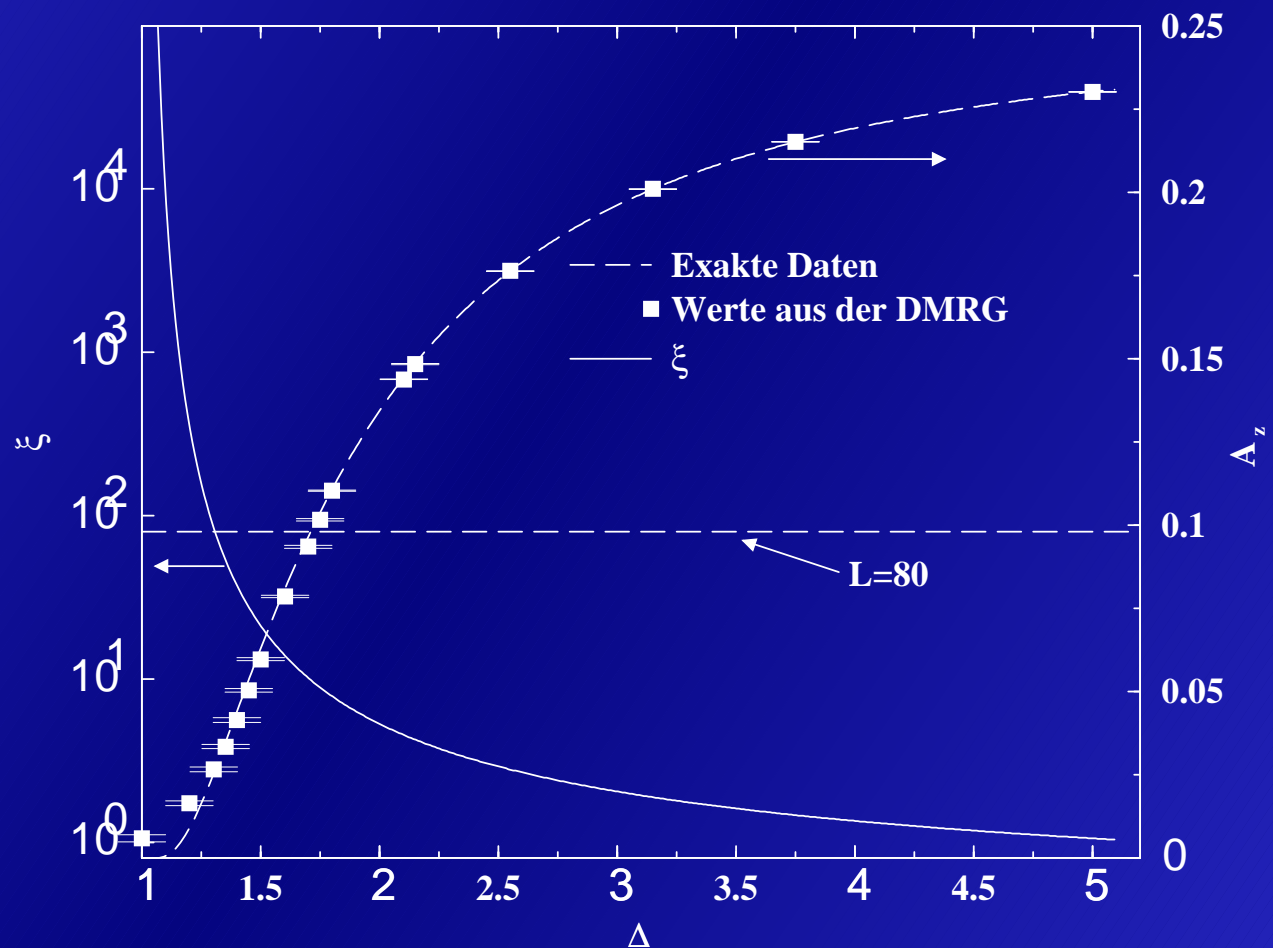
Automatisches Zufügen von Zuständen:



Hubbard-Kette, $L = 64$, 380 Zustände, $U = 3$,
 $t_2 = -0.8$, $N_\uparrow = 33$, $N_\downarrow = 31$
(Rechenzeit 107 Stunden)

Vergleich mit exakten Resultaten I

In **homogenen XXZ -Ketten** mit periodischen Randbedingungen kennt man exakte Resultate^a für $\Delta > 1$:
 $\langle S_{20}^z S_{20+r}^z \rangle$ für $L = 80$ und $m = 160$



^aR.J. Baxter **J.Stat.Phys.** **9** (1973) 145

Vergleich mit exakten Resultaten II

Weiterhin gilt in **homogenen XXZ -Ketten** mit periodischen Randbedingungen ^a für $\Delta < 1$

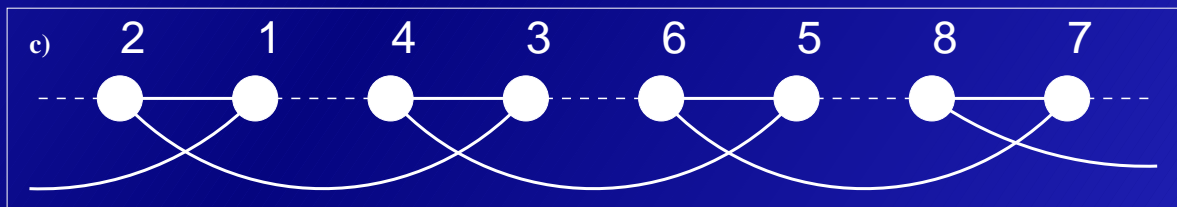
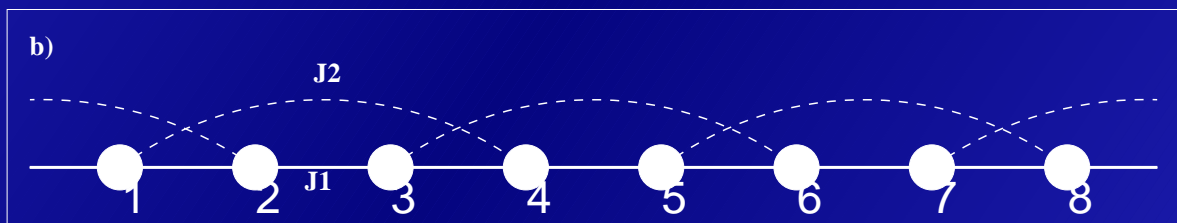
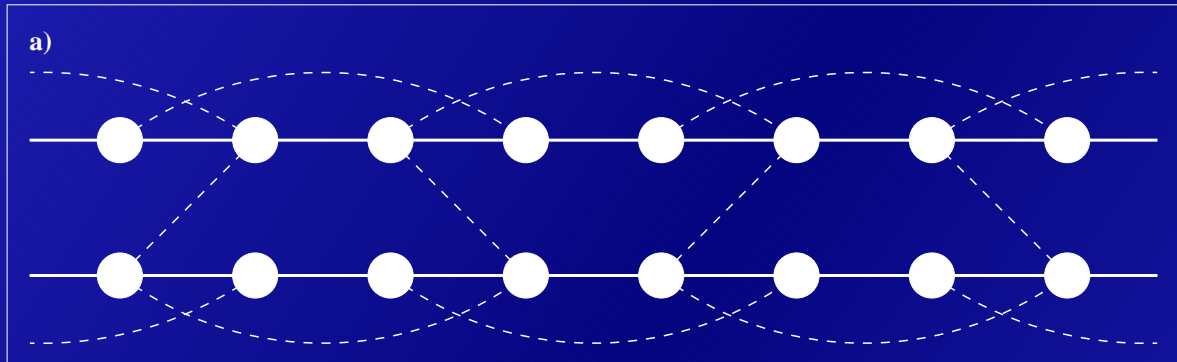
$$\begin{aligned} |\langle S_i^x S_j^x \rangle| &\sim |i - j|^{-\eta_x} \\ |\langle S_i^z S_j^z \rangle| &\sim |i - j|^{-\eta_z} \\ \eta_x &= \eta_z^{-1} \\ \eta_x &= 1 - \frac{1}{\pi} \arccos(\Delta) \end{aligned}$$

Δ	$\nu_{x,20}$	$\nu_{x,40}$	$\nu_{x,60}$	$\nu_{x,80}$	$\nu_{x,100}$	ν_{exakt}
0, 5	0, 678	0, 684	0, 685	0, 684	0, 682	0, 666
0, 0	0, 474	0, 483	0, 486	0, 487	0, 486	0, 5

^aLuther and Peschel **Phys.Rev.B 12** (1975) 3908

Spinsysteme in 2D

Aus Betrachtungen von Spins in 2D ergibt sich für eine bestimmte Dimerisierung ein Mäandermodell als eine topologische Realisation^a.



^aJesko Sirker, Diplomarbeit, Universität zu Köln, 2000

Spinsysteme in 2D

—

Vergleich mit der TMRG

Es wurden mit der DMRG Ketten der Längen 10 – 98 [PBC] und 10 – 122 [OBC] für $J_1 = 1, J_2 = 0, 25$ gerechnet.

Aus einem Fit von

$$\Delta := E_{\text{1. ang.}} - E_{\text{GZ}}$$

ergab sich der asymptotische Wert

$$\Delta_{\text{PBC}} = 0,236522 \pm 0,00064$$

$$\Delta_{\text{OBC}} = 0,238342 \pm 0,00027$$

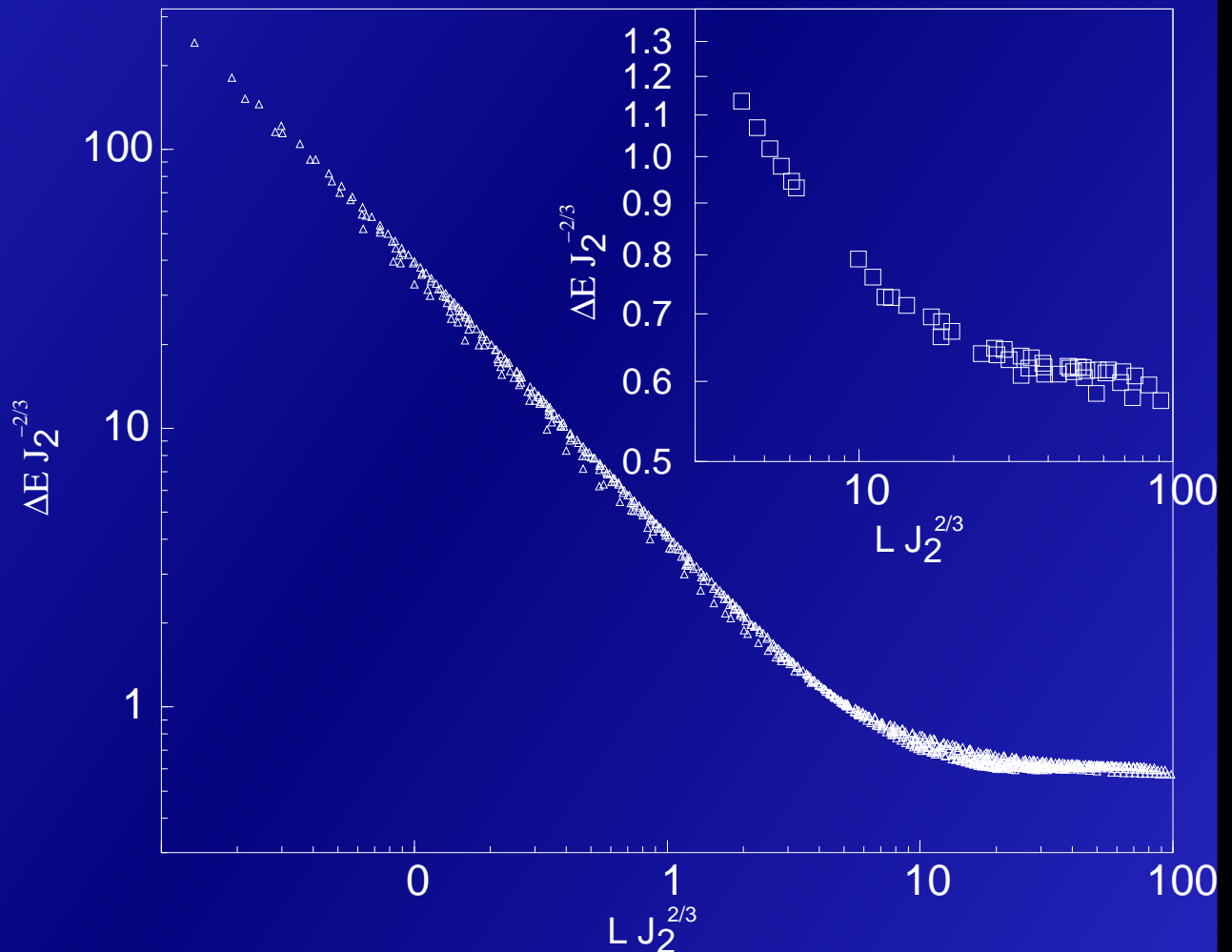
Ein Fit von TMRG-Resultaten für $T \rightarrow 0$ ergab^a

$$\Delta_{\text{TMRG}} = 0,212 \pm 0,002$$

Spinsysteme in 2D – Skalenfunktion

Behauptung: Anregungslücke $\Delta \sim J_2^{2/3}$

862 verschiedene L und J_2 -Kombinationen:

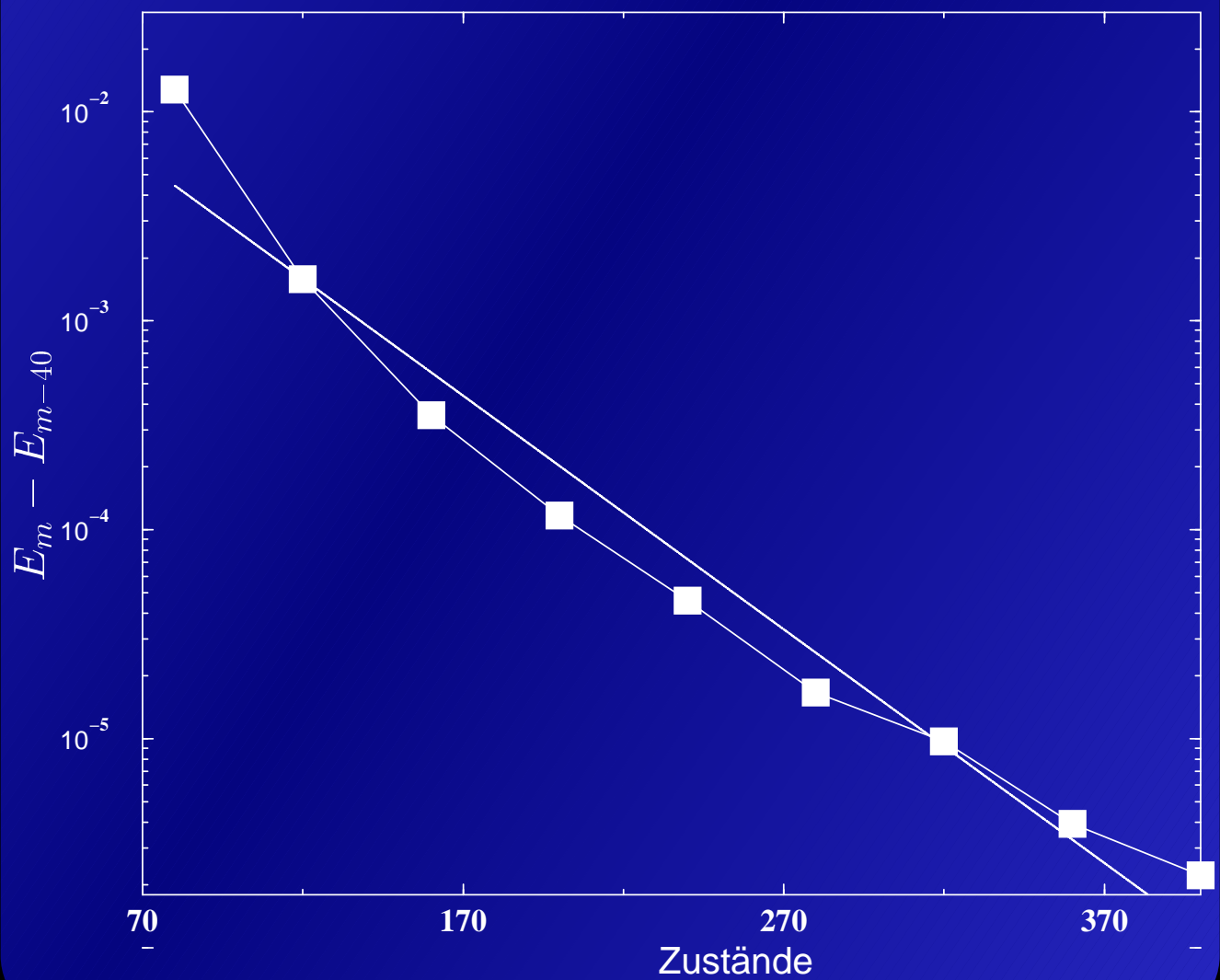


Konvergenz bei Hubbard-Ketten

$$L = 64, U = 8, t_2 = 0, N_\uparrow = 16, N_\downarrow = 16$$

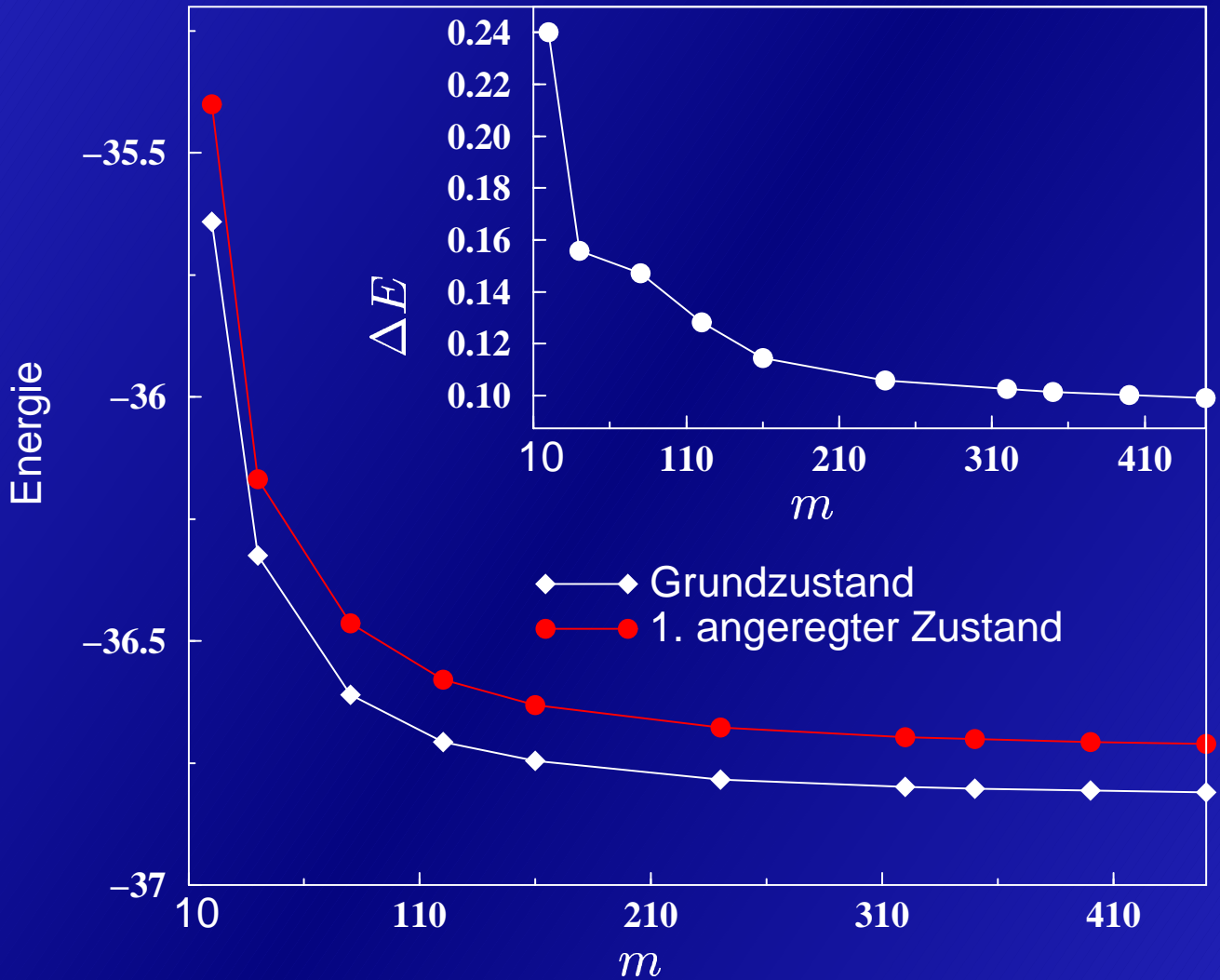
$$\text{für } H = -t \sum_{i=1, \sigma=\uparrow, \downarrow}^L \left\{ c_{i\sigma}^\dagger c_{i+1\sigma} + \text{h.c.} \right\} -$$

$$t_2 \sum_{i=1, \sigma=\uparrow, \downarrow}^L \left\{ c_{i\sigma}^\dagger c_{i+2\sigma} + \text{h.c.} \right\} + U \sum_{i=1}^L n_{i\uparrow} n_{i\downarrow}$$



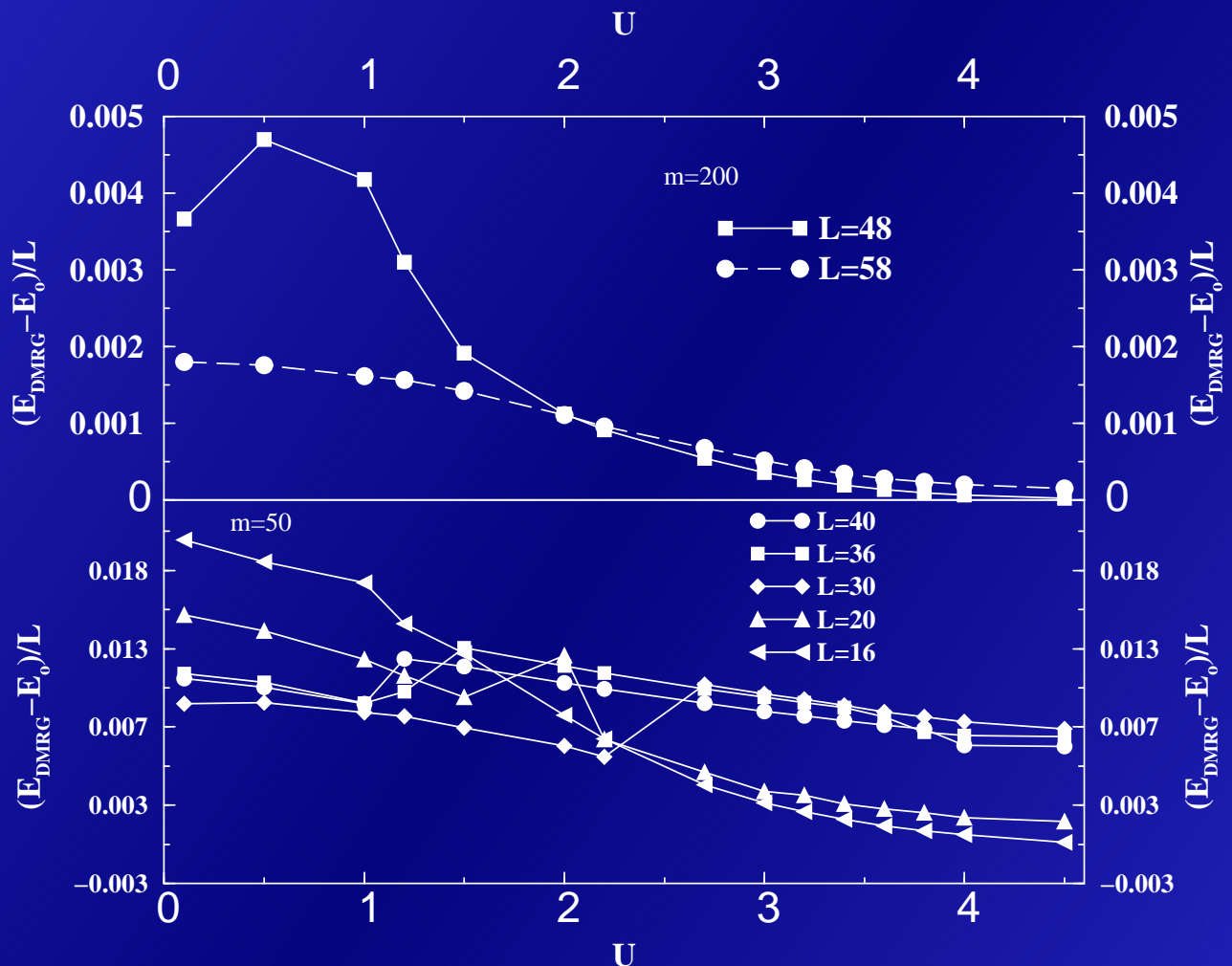
Angeregte Zustände

Die Berechnung von angeregten Zuständen:



$$L = 32, N_{\downarrow} = N_{\uparrow} = 16, U = 1, t_2 = -0, 8$$

Betrachtungen zum Konvergenzverhalten III



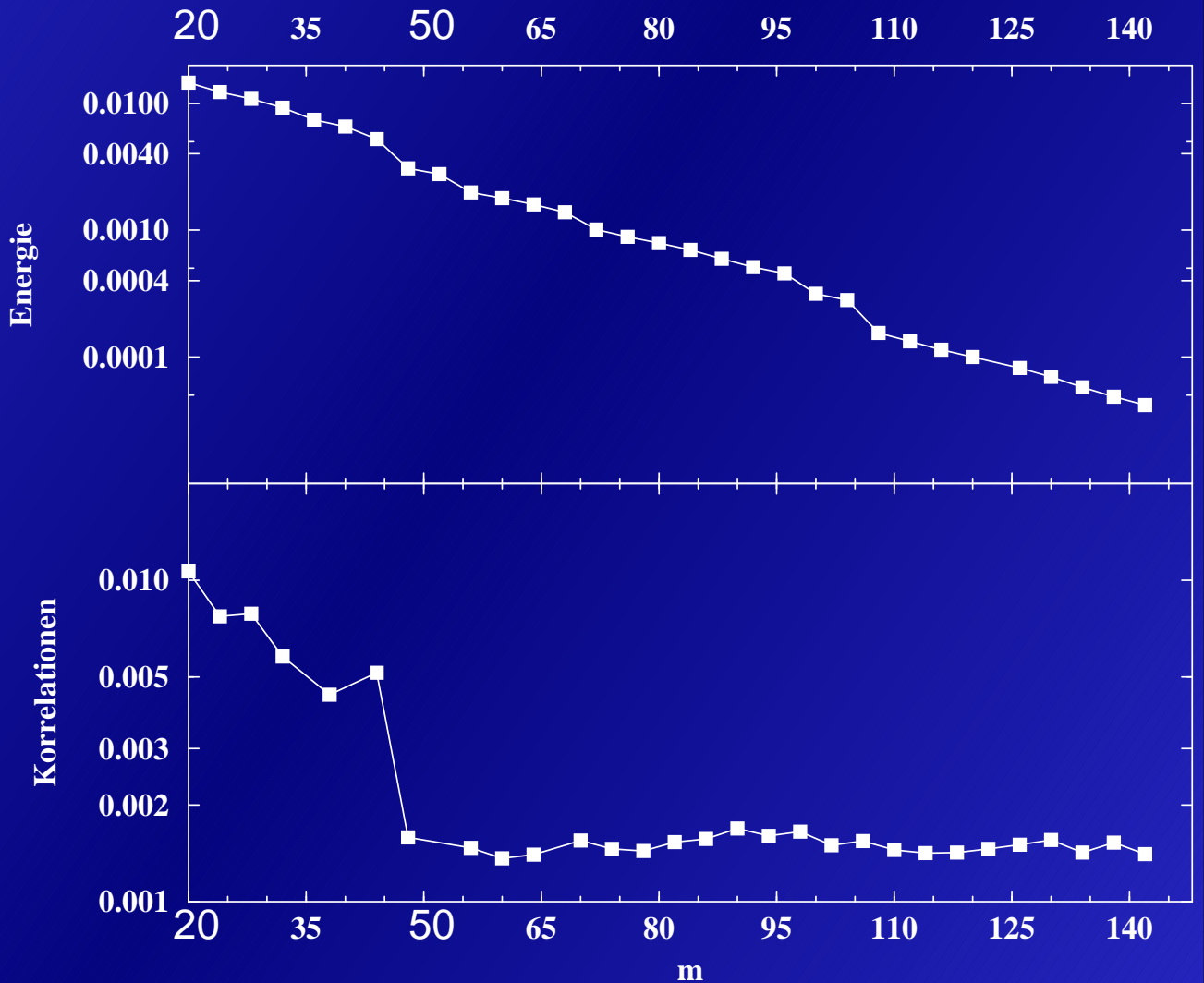
für $t_2 = 0$:

Vergleich zu analytischem Ergebnis ^a

^a Lieb and Wu **Phys. Rev. Lett.** **20** (1968) 1445-1448

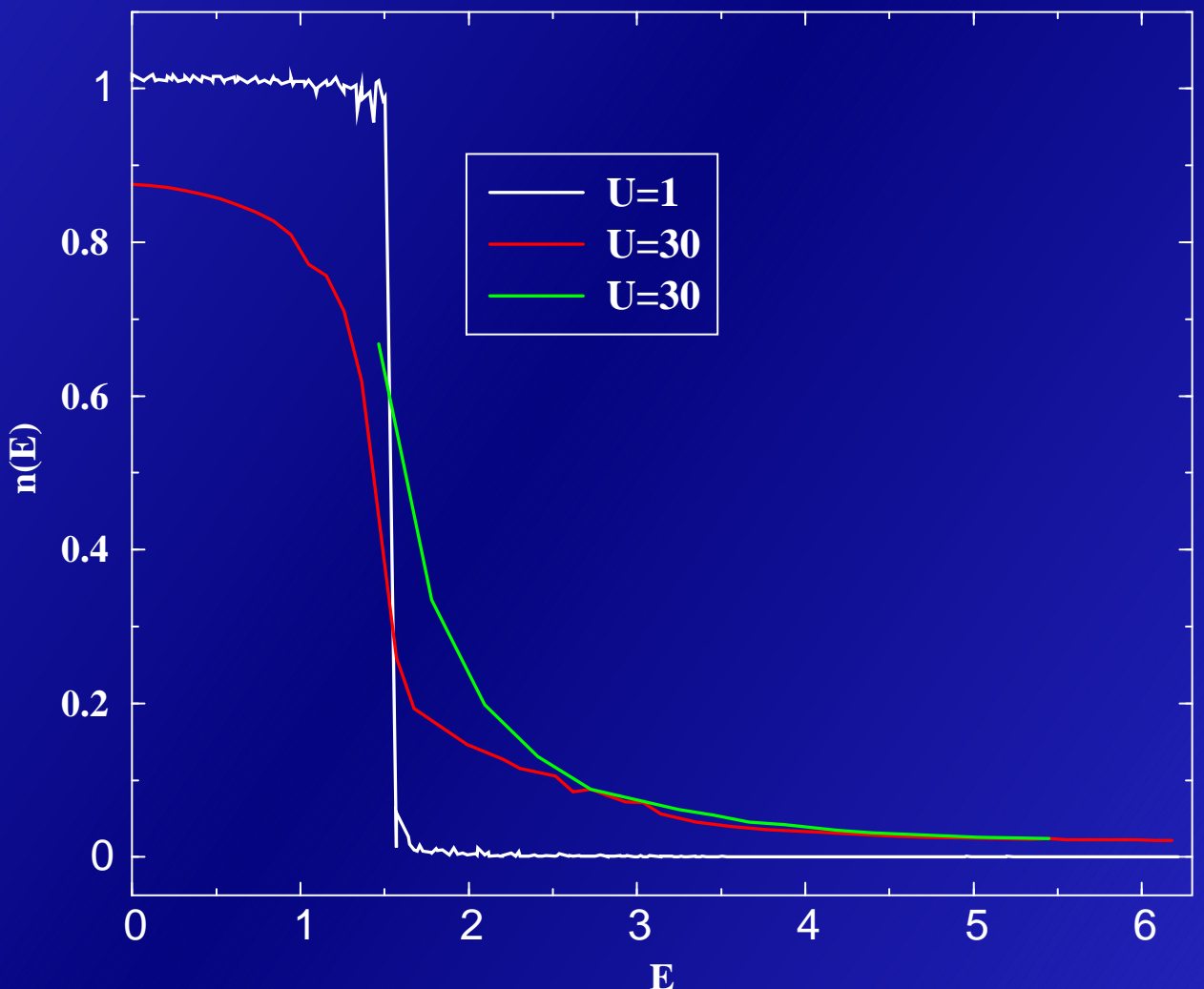
Betrachtungen zum Konvergenzverhalten IV

Relativer Fehler der Energien und der Betragssumme der
Korrelationswerte für $U = 0, L = 10, t_2 = 2$ mit OBC



Verschiebung der Fermiflächen

offene Randbedingungen, $t_2 = -3$, Viertelfüllung,
 $m = 300 - 320$



Quantenchemie und DMRG

Hamiltonian in Raum-Orbitalen

$$H = \sum_{ij\sigma} t_{ij} c_{i\sigma}^+ c_{j\sigma} + \frac{1}{2} \sum_{ijkl\sigma\sigma'} V_{ijkl} c_{i\sigma}^+ c_{k\sigma'}^+ c_{l\sigma'} c_{j\sigma}$$

$$t_{ij} = \int d^3r f_i^*(r) \left(-\frac{1}{2m} \nabla^2 + V(r) \right) f_j(r)$$

$$V_{ijkl} = e^2 \int d^3r d^3r' f_i^*(r) f_j(r) \frac{1}{|r-r'|} f_k^*(r') f_l(r')$$

Verallgemeinerte Dichteterme

⇒

Mehrere (> 2) Fragmente/Sites

involviert

Langreichweite Ww!

Ausblick

- weitere Berechnungen zu Hubbard-Ketten und -Leitern
- Modell (Kopplungen aus SCF) für CuGeO₃
- Quantenchemie mit DMRG
- Quantenchemie mit DMRG

Danksagung

- Priv.Doz. Dr. Wenzel (FZ Karlsruhe)
- Prof.Dr. Keiter (U Dortmund)
- Prof.Dr. Weber (U Dortmund)
- Prof.Dr. Stolze (U Dortmund)
- Prof.Dr. Gros (U Saarbrücken)
- Prof.Dr. Klümper (U Dortmund)
- Verband der chemischen Industrie, BMBF
- Studienstiftung des dt. Volkes

Weiteres (Paper etc.): <http://www.kay-hamacher.de>